



## 【特許請求の範囲】

## 【請求項 1】

シャフトに支持された太陽ギアと、  
 前記太陽ギアと同心状に固定される固定ギアと、  
 前記太陽ギア及び前記固定ギアの双方と同時に噛み合う遊星ギアと、  
 前記シャフトの中心軸を中心に回転する底板部及び前記遊星ギアを回転自在に支持する  
 支軸からなるキャリアと、  
 前記遊星ギアに噛み合う出力ギアと、  
 を含む遊星歯車式減速装置であって、  
 前記太陽ギアと前記キャリアの前記底板部との間に、前記太陽ギアと同心状に回転して  
 前記遊星ギアと噛み合う補助ギアをさらに備える  
 ことを特徴とする遊星歯車式減速装置。

10

## 【請求項 2】

前記太陽ギアと前記固定ギアとは、前記遊星ギアとの噛み合う幅がそれぞれほぼ同一と  
 なるような歯幅を有する、  
 請求項 1 に記載の遊星歯車式減速装置。

## 【請求項 3】

前記補助ギアは、前記太陽ギアとギア形状が異なる、  
 請求項 1 又は 2 に記載の遊星歯車式減速装置。

## 【請求項 4】

前記補助ギアは、前記補助ギアと前記遊星ギアとが噛み合うときのバックラッシュが、  
 前記太陽ギアと前記遊星ギアとが噛み合うときのバックラッシュよりも小さくなるような  
 形状として形成されている、  
 請求項 3 に記載の遊星歯車式減速装置。

20

## 【請求項 5】

前記補助ギアは、樹脂材料で形成されている、  
 請求項 1 ~ 4 のいずれか 1 項に記載の遊星歯車式減速装置。

## 【請求項 6】

請求項 1 ~ 5 のいずれか 1 項に記載の遊星歯車式減速装置を備える電動弁。

## 【発明の詳細な説明】

30

## 【技術分野】

## 【0001】

本発明は、遊星歯車式減速装置及びこれを備えた電動弁に関し、特に耐久性の向上を図  
 ることのできる遊星歯車式減速装置及びこれを備えた電動弁に関する。

## 【背景技術】

## 【0002】

例えば、空気調和機の冷媒の流量を制御するために、電動モータを介して弁の開閉を行  
 ういわゆる電動弁が広く用いられている。

このような電動弁として、電動モータのロータの回転を減速装置で減速してねじ機構に  
 伝達する減速装置を備えたものが知られている（特許文献 1 参照）。

40

## 【0003】

特許文献 1 に記載された電動弁では、減速装置として、遊星歯車式減速装置が用いられ  
 ている。

このような遊星歯車式減速装置は、電動モータのロータの回転によって回転駆動される  
 太陽ギアと、当該太陽ギアと対向するように上記電動モータの本体に固定された固定ギア  
 と、これらの太陽ギアと固定ギアとの間に配置され、これらのギアと噛合する複数の遊星  
 ギアと、当該複数の遊星ギアからの回転を伝達する出力ギアと、を備えている。

## 【0004】

複数の遊星ギアは、底板に上記遊星ギアを回転自在に支持する支軸が立設されたキャリ  
 アに取り付けられており、これらの遊星ギアが上記固定ギアと軸方向に離れた部分で出力

50

ギアと噛み合うことにより、キャリアが太陽ギアの回転軸まわりに回転するように構成されている。

そして、太陽ギアが回転すると、固定ギアと噛み合う遊星ギアがキャリアに支持されながら自転するとともに、太陽ギアのまわりを公転することにより、出力ギアには固定ギアとの歯数差に応じて減速された回転が出力される。

【0005】

図3は、例えば特許文献1に記載された、従来型の電動弁に適用されている遊星歯車式減速装置の要部の概要を示しており、図3(a)は太陽ギアの上における回転軸に垂直な断面の要部拡大図であり、図3(b)は図3(a)のB-B面における断面図である。

図3(a)に示すように、シャフト1に回転自在に支持された太陽ギア2は、図示しない電動モータのロータの回転により矢印d1の方向に自転する。

【0006】

太陽ギア2に対向して固定された固定ギア(内歯車)3との間には、図示しないキャリアに立設された複数の支軸4にそれぞれ回転自在に支持された遊星ギア5が、太陽ギア2及び固定ギア3の両者に噛み合うように配置されている。

また、遊星ギア5の上部には、それぞれの支軸4の頂部が挿入される貫通穴6aを複数備えた環状プレート6が取り付けられており、当該環状プレート6は、上記キャリアと一体で回転するとともに遊星ギア5が上方に飛び出すのを防止する。

【先行技術文献】

【特許文献】

【0007】

【特許文献1】特許第5111240号公報

【発明の概要】

【発明が解決しようとする課題】

【0008】

上記のような遊星歯車式減速装置において、太陽ギア2が自転すると、当該太陽ギア2に噛み合う遊星ギア5が矢印d2の方向に自転する。

このとき、遊星ギア5は固定ギア3とも噛み合っているため、遊星ギア5はその自転とともに太陽ギア2のまわりを公転する。すなわち、遊星ギア5が固定ギア3から反力を受けるため、遊星ギア5を支持する支軸4も図3(a)に示す矢印d3の方向に力を受ける。

【0009】

キャリアから立設された支軸4が矢印d3の方向に力を受けると、当該支軸4は片持ち梁の構造であるため、図3(b)に示すように、支軸4の中心軸O2が元の位O1から角度だけ傾く。

一方、支軸4は遊星ギア5を回転自在に支持するため、支軸4と遊星ギア5との間には、製造上のクリアランス(空隙e)が存在する。

【0010】

これらのような傾斜角度及び空隙eが生じると、遊星ギア5は太陽ギア2あるいは固定ギア3との間で回転軸が傾斜して接触することとなる。

そして、遊星ギア5と太陽ギア2あるいは固定ギア3が傾斜してしまうと、これらのギアの間で歯底の干渉が生じて、減速装置の伝達効率が低下してしまう懸念がある。

また、遊星ギア5が傾斜することにより、太陽ギア2、固定ギア3及び遊星ギア5の間の噛み合いに偏りが生じてギアが偏摩耗してしまい、ギアの耐久性が低下するという懸念もある。

【0011】

そこで、本発明の目的は、減速装置の伝達効率及びギアの耐久性の低下を抑制した遊星歯車式減速装置及びこれを備えた電動弁を提供することである。

【課題を解決するための手段】

【0012】

10

20

30

40

50

上記目的を達成するために、本発明による遊星歯車式減速装置は、シャフトに支持された太陽ギアと、前記太陽ギアと同心状に固定される固定ギアと、前記太陽ギア及び前記固定ギアの双方と同時に噛み合う遊星ギアと、前記シャフトの中心軸を中心に回転する底板部及び前記遊星ギアを回転自在に支持する支軸からなるキャリアと、前記遊星ギアに噛み合う出力ギアと、を含み、前記太陽ギアと前記キャリアの前記底板部との間に、前記太陽ギアと同心状に回転して前記遊星ギアと噛み合う補助ギアをさらに備えることを特徴とする。

#### 【0013】

本発明の代表的な一例による遊星歯車式減速装置において、前記太陽ギアと前記固定ギアとは、前記遊星ギアとの噛み合う幅がそれぞれほぼ同一となるような歯幅を有する。

また、前記補助ギアは、前記太陽ギアとギア形状が異なってもよい。そのような例として、例えば、前記補助ギアと前記太陽ギアとは、モジュール、圧力角がそれぞれ同一であり、前記補助ギアの歯厚が前記太陽ギアの歯厚より大きくなるように設定されている。

#### 【0014】

また、本発明の代表的な一例による遊星歯車式減速装置において、前記補助ギアは、前記補助ギアと前記遊星ギアとが噛み合うときのバックラッシュが、前記太陽ギアと前記遊星ギアとが噛み合うときのバックラッシュよりも小さくなるような形状として形成されている。さらに、前記補助ギアは、樹脂材料で形成されていてもよい。

そして、本発明による遊星歯車式減速装置は、電動弁に適用することができる。

#### 【発明の効果】

#### 【0015】

本発明による遊星歯車式減速装置によれば、上述した構成を備えることにより、遊星ギアの傾斜が緩和され、その結果として、減速装置の伝達効率及びギアの耐久性の低下を抑制することができる。

#### 【図面の簡単な説明】

#### 【0016】

【図1】本発明の一実施例による遊星歯車式減速装置が適用された遊星歯車式電動弁の全体構造を示す縦断面図である。

【図2】図1に示された遊星歯車式減速装置の概略を示す図であって、図2(a)は部分断面図であり、図2(b)は図2(a)のA-A断面図である。

【図3】従来型の電動弁に適用されている遊星歯車式減速装置の要部の概要を示しており、図3(a)は太陽ギアの上部における回転軸に垂直な断面の要部拡大図であり、図3(b)は図3(a)のB-B面における断面図である。

#### 【発明を実施するための形態】

#### 【0017】

図1は、本発明の一実施例による遊星歯車式減速装置が適用された遊星歯車式電動弁の全体構造を示す縦断面図である。

図1に示す遊星歯車式電動弁(以下、「電動弁」と称する)10は、内部に弁室21を含む弁本体20と、弁本体20の上端に固着されたキャン30と、キャン30の内部で上記弁本体20の上端に取り付けられる弁体駆動機構40と、キャン30の内部で上記弁体駆動機構40に結合された遊星歯車式減速装置100と、キャン30の外側を取り囲む態様で配置されたモータ励磁装置(ステータ装置)50と、を備える。

#### 【0018】

弁本体20は、有底筒状の形状を有する例えば金属製の部材であって、上部の開口端に後述する弁体駆動機構40の筒状軸受41を固着することにより、内部に弁室21が形成される。

弁本体20の側部には、弁室21に連通する流入パイプ26aが取り付けられており、弁本体20の底部には、弁室21に連通する小孔(オリフィス)22が形成されるとともに、流出パイプ26bが取り付けられる。

10

20

30

40

50

## 【 0 0 1 9 】

弁室 2 1 の内部には、オリフィス 2 2 を開閉する弁体 2 3 と、当該弁体 2 3 を上方（弁体 2 3 の開方向）に付勢するバネ 2 5 と、このバネ 2 5 の周囲に設けられたバネ受け部材 2 4 と、が配置されている。

弁体 2 3 は、上端に外向きに拡径するフランジ部 2 3 a が形成されており、下端にオリフィス 2 2 に挿入されるテーパ部 2 3 b が形成されている。

## 【 0 0 2 0 】

バネ受け部材 2 4 は、弁体 2 3 の外側に配置される筒状の部材であって、上端に外向きに拡径するフランジ部 2 4 a が形成されており、中間領域に段部 2 4 b が形成され、下端近傍は小径とされ、弁体 2 3 の外周面に摺動自在に接している。

バネ受け部材 2 4 の段部 2 4 b と弁体 2 3 のフランジ部 2 3 a の下面との間には、バネ 2 5 が配置される。このような配置により、バネ 2 5 が弁体 2 3 のフランジ部 2 3 a を常時上方に付勢する。

## 【 0 0 2 1 】

キャン 3 0 は、有頂円筒形の薄肉部材であって、弁本体 2 0 の外周面に固着された受け部材 3 1 を介して、弁本体 2 0 の頂部を収容する態様で取り付けられる。

また、キャン 3 0 の内部空間の上方には、後述する遊星歯車式減速装置 1 0 0 の回転軸となるシャフト 3 3 を保持するシャフト保持部材 3 2 が固着されている。

そして、キャン 3 0 は、弁本体 2 0 の上部との間に形成される内部空間を密閉する気密容器として機能し、内部空間には、後述する弁体駆動機構 4 0 と遊星歯車式減速装置 1 0 0 とを収容する。

## 【 0 0 2 2 】

弁体駆動機構 4 0 は、遊星歯車式減速装置 1 0 0 の出力軸（図 2 の符号 1 3 1 参照）を収容する収容穴 4 1 a を有する筒状軸受 4 1 と、上記収容穴 4 1 a に収容されるとともに上記出力軸と係合されたねじ軸 4 2 と、当該ねじ軸 4 2 の一端が接触するボール 4 3 と、弁体 2 3 の頂部に取り付けられて上記ボール 4 3 を支持するボール支持部材 4 4 と、から構成される。

筒状軸受 4 1 は、弁本体 2 0 の頂部の開口に嵌合するように挿入され、上述のバネ受け部材 2 4 のフランジ部 2 4 a を挟む態様で、弁本体 2 0 の内部の段差部 2 0 a に接触して固着される。

また、筒状軸受 4 1 の収容穴 4 1 a の下端には雌ねじが形成されている。

## 【 0 0 2 3 】

ねじ軸 4 2 には、上記雌ねじと螺合する雄ねじがその外周に形成されており、その上端には、遊星歯車式減速装置 1 0 0 の出力軸 1 3 1 に形成されたスリットに挿入される平凸部 4 2 a が形成されている。

このような弁体駆動機構 4 0 により、遊星歯車式減速装置 1 0 0 の出力軸 1 3 1 が回転すると、当該出力軸 1 3 1 に連結されたねじ軸 4 2 も連れ回りし、これによりねじ軸 4 2 の回転運動が軸方向の進退運動に変換される。

そして、ねじ軸 4 2 の進退運動はボール 4 3 及びボール支持部材 4 4 を介して弁体 2 3 に伝達され、弁体 2 3 が軸方向に進退移動する。

## 【 0 0 2 4 】

モータ励磁装置 5 0 は、ボビンに導線が巻回されたステータコイル 5 1 と、当該ステータコイル 5 1 に電力を供給するコネクタ 5 2 及びリード線 5 3 と、を一体に樹脂モールドしたものであって、上記ステータコイル 5 1 がキャン 3 0 の外周部を囲むような配置で、取付具 5 4 を介してキャン 3 0 に着脱自在に取り付けられる。

一方、遊星歯車式減速装置 1 0 0 は、キャン 3 0 の内部空間に取り付けられたシャフト 3 3 が挿入固定されるロータ組立体 1 1 0 を含んでおり、電動弁 1 0 において、モータ励磁装置 5 0 のステータコイル 5 1 と遊星歯車式減速装置 1 0 0 のロータ組立体 1 1 0 とは、電動モータの一例としてのステッピングモータを構成する。

## 【 0 0 2 5 】

10

20

30

40

50

図2は、図1に示された遊星歯車式減速装置の概略を示す図であって、図2(a)は部分断面図であり、図2(b)は図2(a)のB-B断面図である。

図2に示すように、遊星歯車式減速装置100は、有頂円筒状のロータ組立体110(図1参照)と、弁本体20に支持部材121を介して取付固定された環状の内歯車である固定ギア120と、シャフト33に回転自在に支持された出力軸131を有する内歯車である有底円筒状の出力ギア130と、シャフト33を着脱自在に挿入しつつ上記固定ギア120及び出力ギア130の内側に配置されたキャリア140と、キャリア140に回転自在に支持された複数の遊星ギア150と、を備えている。

【0026】

図1に示されたロータ組立体110は、例えば磁性材料を含有するプラスチック等の樹脂材料で形成され、周壁をなす筒部111と、中央に太陽ギア112aが突設された底部112と、が一体に形成された部材である。

太陽ギア112aは、中心にシャフト33が挿通される貫通孔を有するとともに、外周面には、遊星ギア150と噛合する外歯が形成されている。

なお、筒部111と底部112とは、別々に製造して組み立てても良いし、一体成形によって形成されてもよい。

【0027】

固定ギア120は、例えばプラスチック等の樹脂材料を成型加工して製作されたリングギアであって、内周側に遊星ギア150の上側部分と噛合する内歯が形成されている。

また、固定ギア120は、円筒状の支持部材121を介して、弁本体20の上端部に固定される。

【0028】

出力ギア130は、例えばプラスチック等の樹脂材料を成型加工して製作された有底円筒状のリングギアであって、その中央に形成された貫通孔に出力軸131が圧入固着されている。

出力ギア130の内壁面には、遊星ギア150と噛合する内歯が形成されている。

【0029】

出力軸131は、上端側にシャフト33を挿入する挿入穴を有するとともに、下端側には、上述したねじ軸42の平凸部42aが挿入されるスリットが形成されている(図1参照)。

これらの構成により、出力ギア130に固着された出力軸131の回転は、スリットと平凸部との結合(係合)を介してねじ軸42に伝達され、出力ギア130とねじ軸42とが同方向に回転する。

【0030】

キャリア140は、例えばプラスチック等の樹脂材料を成型加工して製作された樹脂部品、あるいは金属部品であって、シャフト33が挿入される貫通孔を中心部に有する底板部141と、当該底板部141から上方に向けて立設されている3個の隔壁142及び3本の支軸143と、隔壁142及び支軸143の上端(すなわち底板部141と対向する位置)に取り付けられる環状プレート144と、から構成されている。

3個の隔壁142と3本の支軸143とは、隔壁同士あるいは支軸同士が互いに周方向で等間隔となるように交互に配置される。

【0031】

遊星ギア150は、例えばプラスチック等の樹脂材料や金属材料により、上記キャリア140の支軸143が挿入される穴を備えた筒状に形成され、その外周面には、上記した太陽ギア112a、固定ギア120のリングギア及び出力ギア130のリングギアとそれぞれ噛合する外歯が形成されている。

3つの遊星ギア150は、キャリア140の3本の支軸143にそれぞれ回転自在に挿入され、この状態で上方から環状プレート144を取り付けることにより、キャリア140に支持された遊星ギア150が、固定ギア120及び出力ギア130の内側に取り付けられる。

10

20

30

40

50

そして、キャリア 140、遊星ギア 150 及び環状プレート 144 は、遊星ギア組立体を構成している。

【0032】

補助ギア 160 は、例えばプラスチック等の樹脂材料により筒状に形成されている。この補助ギア 160 の内周面は、太陽ギア 112a を固定又は回転自在に支持するシャフト 33 が挿入される穴とされており、その外周面には、上記した 3 つの遊星ギア 150 とそれぞれ噛み合う外歯が形成されている。

また、補助ギア 160 は、太陽ギア 112a と同一の歯数で形成されているが、当該補助ギア 160 と遊星ギア 150 とが噛み合うときのバックラッシュ（両ギア間の隙間）が、太陽ギア 112a と遊星ギア 150 とが噛み合うときのバックラッシュよりも小さくなるように、補助ギア 160 の転位量は太陽ギア 112a の転位量と異なるように設定される。

10

【0033】

太陽ギア 112a の歯幅（ギアに形成された歯のギア回転軸方向の長さ）と固定ギア 120 の歯幅とは、図 2 に示すようにほぼ同一（すなわち、太陽ギア 112a の下端位置と固定ギア 120 の下端位置とが同一面上に位置する状態）となるように設定される。

さらに、太陽ギア 112a と固定ギア 120 とは、遊星ギア 150 を挟んで正対する位置となる。

【0034】

また、補助ギア 160 は、遊星ギア 150 を挟んで出力ギア 130 と正対する位置となっている。このとき、上述のように、補助ギア 160 と遊星ギア 150 とが噛み合うときのバックラッシュが、太陽ギア 112a と遊星ギア 150 とが噛み合うときのバックラッシュよりも小さくなるように転位量が設定されているため、従来の遊星歯車式減速装置において懸念されていた遊星ギアの傾斜（遊星ギアがキャリアの支軸に対して当該遊星ギアの公転方向に傾斜する事象）が緩和される。

20

これにより、遊星ギア 150 の上端側では太陽ギア 112a との噛み合いが確保され、下端側では補助ギア 160 との噛み合いが確保されるため、遊星ギア 150 が支軸 143 に対して傾斜あるいはガタつくことなく、出力ギア 130 との間における回転の伝達も安定する。

【0035】

固定ギア 120 と出力ギア 130 とは、互いに転位した関係にあり、互いの歯数がわずかに異なるように構成されている。

30

一方、遊星ギア 150 を支持するキャリア 140 は、シャフト 33 を中心に自由に回転できる配置とされている。

このため、遊星ギア 150 が固定ギア 120 及び出力ギア 130 と噛み合った状態で自転及び公転すると、固定ギア 120 に対して出力ギア 130 が回転することとなる。

【0036】

したがって、遊星歯車式減速装置 100 は、ロータ組立体 110 の回転、すなわち太陽ギア 112a から入力される回転が、遊星ギア 150 を介して、大きく減速されて出力ギア 130 の出力軸 131 から出力される。

40

そして、上述のとおり、出力軸 131 の回転は、弁体駆動機構 40 のねじ軸 42 を介して、弁体 23 が微細な進退運動可能となるように変換される。

これらの構造により、本発明による遊星歯車式減速装置 100 は、シャフト 33 に関して太陽ギア 112a と同軸に回転する補助ギア 160 を、太陽ギア 112a とキャリア 140 の底板部 141 との間に設けたため、遊星ギア 150 と太陽ギア 112a との噛み合い長さを短くすることができるため、太陽ギア 112a と遊星ギア 150 との間での回転の伝達効率を向上させることができる。

【0037】

なお、本発明は上記の実施例に限定されるものではなく、種々の改変を施すことができる。

50

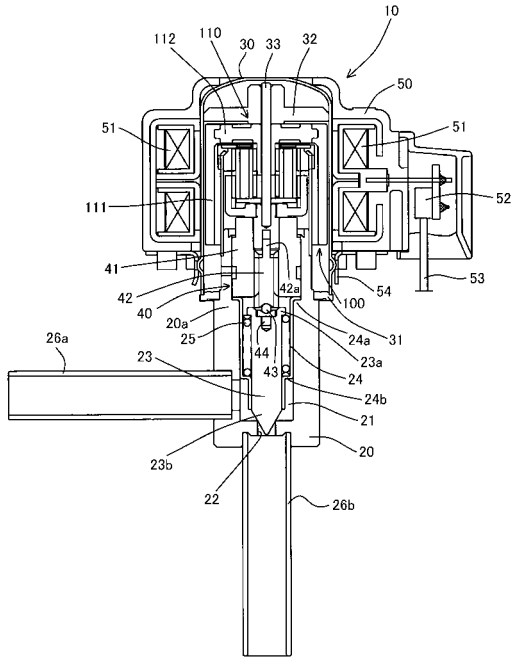
すなわち、上記した実施例では、補助ギア 1 6 0 の転位量を太陽ギア 1 1 2 a の転位量と異なる値に設定することにより、補助ギア 1 6 0 と遊星ギア 1 5 0 とが噛み合うときのバックラッシュが、太陽ギア 1 1 2 a と遊星ギア 1 5 0 とが噛み合うときのバックラッシュよりも小さくなる場合を例示したが、単に歯厚を変えることにより、バックラッシュを調整するように構成しても良いことは当然である。

【符号の説明】

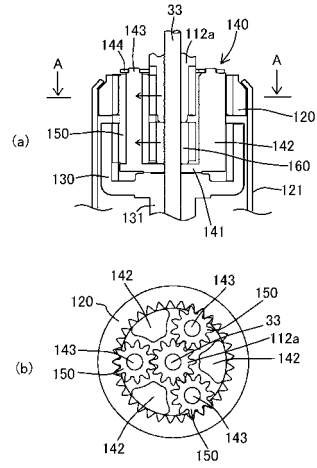
【 0 0 3 8 】

1 0	遊星歯車式電動弁	
2 0	弁本体	
2 1	弁室	10
2 2	オリフィス	
2 3	弁体	
2 4	バネ受け部材	
2 5	バネ	
3 0	キャン	
3 1	受け部材	
3 2	シャフト保持部材	
3 3	シャフト	
4 0	弁体駆動機構	
4 1	筒状軸受	20
4 2	ねじ軸	
4 3	ボール	
4 4	ボール支持部材	
5 0	モータ励磁装置	
5 1	ステータコイル	
5 2	コネクタ	
5 3	リード線	
5 4	取付具	
1 0 0	遊星歯車式減速装置	
1 1 0	ロータ組立体	30
1 1 1	筒部	
1 1 2	底部	
1 1 2 a	太陽ギア	
1 2 0	固定ギア	
1 2 1	支持部材	
1 3 0	出力ギア	
1 3 1	出力軸	
1 4 0	キャリア	
1 4 1	底板部	
1 4 2	隔壁	40
1 4 3	支軸	
1 4 4	環状プレート	
1 5 0	遊星ギア	
1 6 0	補助ギア	

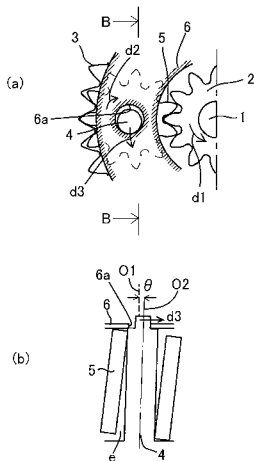
【 図 1 】



【 図 2 】



【 図 3 】



---

フロントページの続き

(72)発明者 柳澤 秀

東京都世田谷区等々力7丁目17番24号 株式会社不二工機内

Fターム(参考) 3H062 AA15 BB33 DD01 EE07 GG01

3H063 BB50 DA14 DB36

3J027 FA37 FB40 GA01 GB03 GC13 GC22 GD04 GD07 GD12 GE02

GE07 GE23 GE30

3J030 AB03 AC10 BA01 BB03 BB07 BC01 CA10